

京都大学工学部 正員 丹羽義次
 工学研究所 正員 小林昭一
 京都大学大学院 学生員 ○植田章嗣

1. まえがき

前報に引き続き、単純梁の衝撃時の応答を光弾性実験により調べた結果の概要を述べる。エポキシ樹脂(アルダイトB)の単純梁模型の中央に落錐による衝撃を加えた際に生じる縞模様の変化を、キセノンフラッシュを光源とした光弾性装置(6300Åフィルター使用)を通して、MLD-1型超高速カメラで撮影した。このようにして得られたフィルムから、縞模様の伝播状態、過渡的な梁の縁応力あるいは歪、たわみ曲線および衝撃時間などを調べ、いわゆる過渡状態の理論と比較してみた。なお、実験方法の詳細については前報を参照されたい。

2. 実験結果と理論との比較

自由振動と強制振動と共に考慮したいわゆる過渡状態に対する振動の方程式から、位置と時間の関数としての単純梁のたわみ δ 、縁応力 σ あるいは縁歪 ϵ は次式で与えられる。^{*}ただし、接触変形、衝撃物体の振動などは無視されている。

$$\delta(x,t) = \frac{l^2 v_{2,0}}{a^2} \sum_{i=1}^{\infty} \frac{1}{\phi_i^2} \frac{\sin \frac{2\phi_i x}{l} / \cos \phi_i - \sinh \frac{2\phi_i x}{l} / \cosh \phi_i}{1 / \cos^2 \phi_i - 1 / \cosh^2 \phi_i + 2M / \phi_i^2} \sin \frac{4\phi_i^2 a^2}{l^2} t \quad (1)$$

$$\sigma(x,t) = E \epsilon(x,t) = \pm \frac{2h v_{2,0}}{a^2} \sum_{i=1}^{\infty} \frac{1}{\phi_i} \frac{\sin \frac{2\phi_i x}{l} / \cos \phi_i + \sinh \frac{2\phi_i x}{l} / \cosh \phi_i}{1 / \cos^2 \phi_i - 1 / \cosh^2 \phi_i + 2M / \phi_i^2} \sin \frac{4\phi_i^2 a^2}{l^2} t \quad (2)$$

ここに、 $a^2 = EI/\rho A$ 、 $\phi_i = \frac{l\omega_i}{2a}$ 、 $\phi_i(\tan \phi_i - \tanh \phi_i) = 2M = \frac{2m_1}{m_2}$
 x =梁の支点からはかれた距離、 t =衝撃開始後の時間、 l =梁の支間、
 h =梁の高さ、 A =梁の横断面積、 E =梁のヤング率、 ρ =梁の密度、
 I =梁の断面2次モーメント、 m_1 =梁の質量、 m_2 =衝撃物体の質量、
 $M = m_1/m_2$ =質量比、 $v_{2,0}$ =衝撃速度、 $\omega_i = i$ 次のモードの固有円振動数。
 式(1)、(2)から、梁の中央における最大たわみ δ_m 、最大応力 σ_m あるいは最大歪 ϵ_m は、実用上十分の精度をもってそれぞれ次式で与えられる。

$$\delta_m \approx \frac{l^2 v_{2,0}}{a^2} \left[\phi_i^2 + \frac{\phi_i^4}{2M} \left(\frac{1}{\cos^2 \phi_i} - \frac{1}{\cosh^2 \phi_i} \right) \right]^{-1} \quad (3)$$

$$\sigma_m = E \epsilon_m \approx \pm \frac{2h v_{2,0}}{a^2} \left[\frac{1}{\phi_i} \frac{\tan \phi_i + \tanh \phi_i}{1 / \cos^2 \phi_i - 1 / \cosh^2 \phi_i + 2M / \phi_i^2} \right] \quad (4)$$

これらが起る時間 t_m および衝撃終了の時間 t_i は

$$t_m = \frac{t_i}{2} = \frac{\pi l^2}{8a^2 \phi_i^2} \quad (5)$$

* Werner Goldsmith, "Impact, The Theory and Physical Behaviour of Colliding Solids", p.55~65

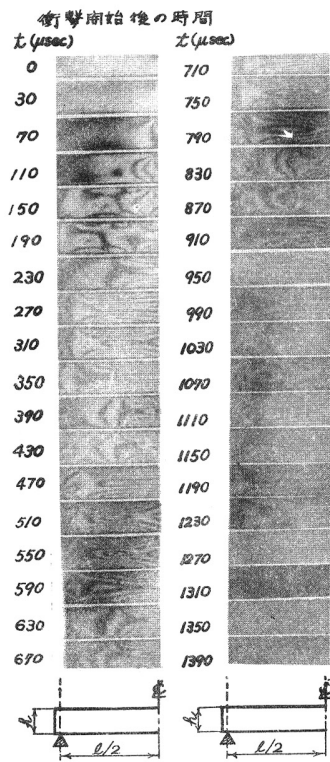


図-I. 単純梁の衝撃の光弾性写真
 $l \times h \times b = 20 \times 3 \times 1 \text{ mm}$
 $M = 2$ $v_{2,0} = 8 \text{ m/sec}$
 撮影速度 = 50,000 f/sec, 露出時間 0.8 μsec
 使用電球光 6300K, 実験温度 27°C

で与えられる。

本実験では、模型寸法は厚さ $h=1\text{cm}$ 、全長 $l=22\text{cm}$ 、支間 $\ell=20\text{cm}$ 、高さ $\bar{h}=1, 1.5, 2, 3\text{cm}$ とし、落錘は質量比 $M=1/6, 1/4, 1/3, 1/2, 3/4, 4, 5, 6$ となるものを用い、衝撃速度は $V_{2,0}=1, 2, 3, 4.5\text{m/sec}$ を採り、これらを種々組合せ実験した。また、工ポキシ樹脂模型の材料特性は、密度 $\rho=1.25\text{g/cm}^3$ 、動的ヤンク率 $E=37,300\text{kg/cm}^2$ 、動的歪-フリンジ値 $f_{d,L}=320\times 10^{-6}\text{cm}$ 、動的応力-フリンジ値 $f_{d,d}=11.9\text{kg/cm}^2$ これらの値は実験した程度の衝撃では、その全過程で変わらないと仮定した。これら

フリンジ値を用いて
縁の繊次数が応力あ
るいは歪に換算され
た。

図-1は梁の衝撃時
の光弾性写真の一例
であり、図-2はこれ
に対する下縁繊次数
の時間的、位置的分
布を描いたものであ
る。図-2(a)の歪分布
曲線を式積分すること
により、各時間

に対するたわみ曲線の概形を得ることができる。

図-3は、中央点の下縁の最大繊次数と質量比
あくまでも衝撃速度の関係をプロットした一例で、
実線(a)および(b)は、式(4)により計算した理論曲
線を示している。これ以外のデータを合せ考え、
カメラの分解能に支配される繊次数の読みの誤
差、フリンジ値に関する誤差およびガイド中を
落下させた落錘の衝撃速度の誤差などを考慮す
れば、実験値は理論値にほぼ近い値をとるよう
である。しかし極端な場合として、もが小さく、
 M が大きいときには実験値は理論値より約30%
増加し、もが大きく M が小さいときには実験値
は理論値より約20%減少している。

繊次数が最大となる時間 t_m は衝撃速度の影響を受けないことが確かめられ、種々の場合
の実験値は式(5)から計算した値に比べ5~30%だけ減少している。一方、衝撃が終了する時
間 t_m は、実験値は理論値より多少増加する傾向があり、 $h=3\text{cm}$ の場合では10%内外の値を
示している。これは、鋼落錘と梁との衝突時の接触変形などの影響によるものであろう。

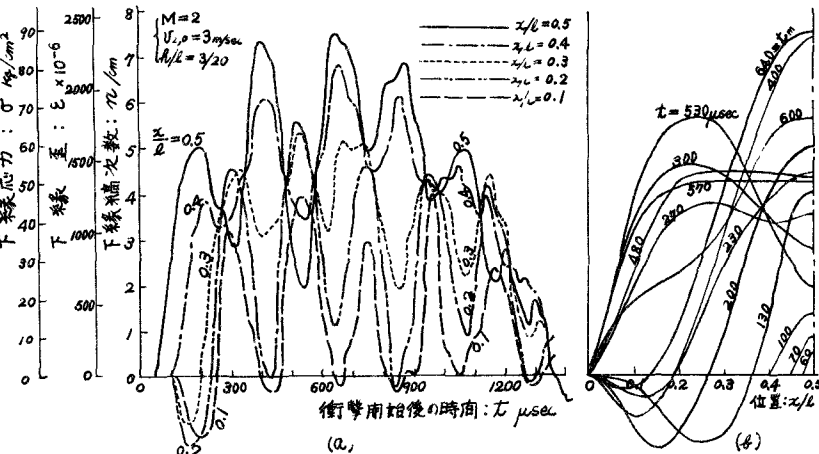


図-2 単純梁の衝撃時の下縁繊次数の時間的变化(a)および位置的分布(b)

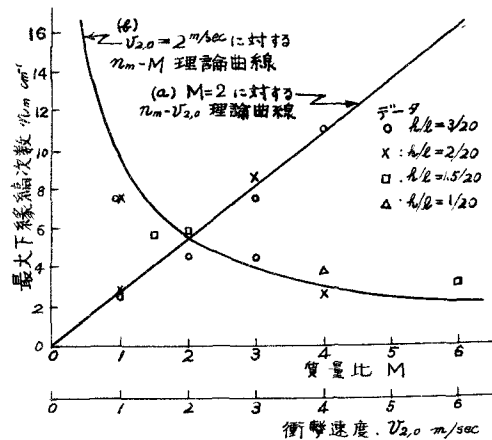


図-3 $n_m-V_{2,0}$ 曲線および n_m-M 曲線